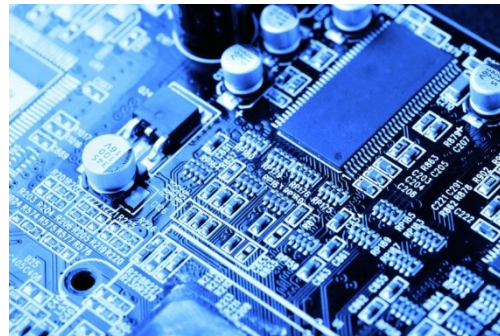


Федеральное государственное автономное образовательное учреждение высшего образования  
«Санкт-Петербургский национальный исследовательский университет информационных технологий,  
механики и оптики»

**Факультет безопасности информационных технологий**

СХЕМОТЕХНИКА

# ЛИНЕЙНЫЕ ЭЛЕКТРИЧЕСКИЕ ЦЕПИ



Санкт-Петербург,

2019

# Оглавление

Понятие о n-полюсной электросистеме .....	3
Понятие линейной системы.....	4
Дельта функция .....	5
Анализ линейной системы во временной области.....	6
Импульсная характеристика и передаточная функция.....	7
Теорема Релея .....	8
Анализ линейной системы в частотной области.....	9
Метод анализа частотных характеристик дополнительными средствами MicroCap .....	10
Переходные процессы в RLC цепях .....	11
Линейное дифференциальное уравнение первого порядка.....	12
Переходной процесс в RC-цепочке .....	13
Графический метод определения постоянной времени.....	14
Генератор на реле и конденсаторе.....	15
Векторные диаграммы .....	16
Резонанс напряжений при последовательном соединении в RLC-цепях .....	19
Резонанс токов при параллельном соединении в RLC-цепях .....	21
Виды частотных фильтров .....	23
Импульсная характеристика идеального низкочастотного фильтра.....	24
Белы .....	25
Добротность .....	27
Частотные характеристики фильтров.....	28
Делитель напряжения RC как фильтр .....	30
Синтез пассивных фильтров в MicroCap .....	31
Трансформатор с идеальными линейными характеристиками.....	32
Трансформатор: идеальный, совершенный, реальный.....	33
Поверхностный эффект, эффект близости.....	34
Виды электрических схем и элементы документации изделий схемотехники.....	37
Литература по курсу Схемотехника .....	38

## Понятие о n-полюсной электросистеме

Полюсом электросистемы называется его выход (вход). При этом в электротехнике, схемотехнике и ряде других дисциплин термин полюс имеет и другие смыслы. Например, в изображениях функций полученных с помощью преобразования Лапласа, полюсом называется точка где функция обращается в бесконечность. Полюсом называют область магнитного поля магнита на границе раздела сред, где линии магнитной индукции имеют наибольшую плотность. В курсе электрические машины полюсы и их число ассоциированы со структурой магнитного поля данной машины.

По числу выходов (входов) электронные и электрические схемы называют: двухполюсники, трёхполюсники, четырёхполюсники и т.д.

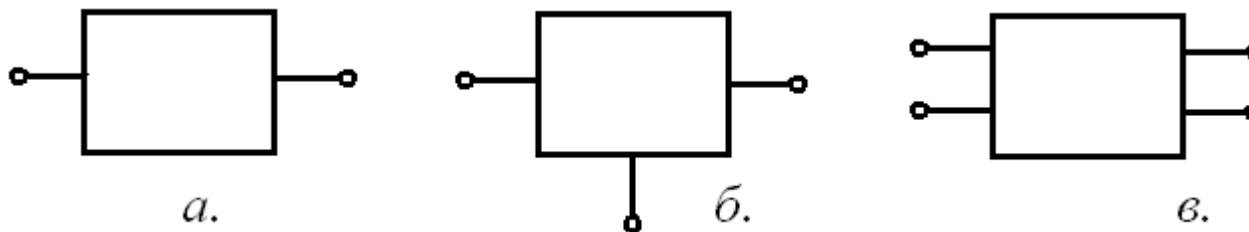


Рис. 1. Примеры электронных схем:

*а* – двухполюсник; *б* – трёхполюсник; *в* – четырёхполюсник

## Понятие линейной системы

Система называется линейной, если она обладает свойствами *однородности* и *аддитивности*.

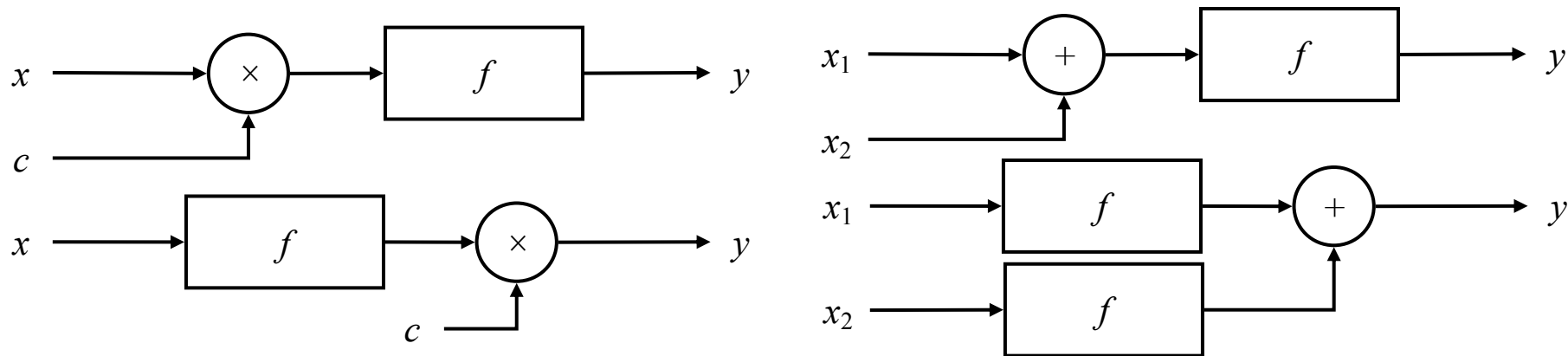


Рис. 2. Свойства однородности и аддитивности

Однородность:

$$f(c \cdot x) = c \cdot f(x), \quad c = \text{const.} \quad (1)$$

Аддитивность:

$$f(x_1 + x_2) = f(x_1) + f(x_2). \quad (2)$$

Отклик линейной казуальной системы на возмущающее воздействие  $x$  определяется через функцию свёртки:

$$(x * h)(t) = \int_0^{\infty} x(\tau) h(t - \tau) d\tau, \quad (3)$$

где:  $h$  – импульсная характеристика системы,  $t$  – время,  $\tau$  – переменная интегрирования, можно назвать временем системы.

## Дельта функция

**Дельта-функция** (функция Дирака) – функция есть импульс бесконечно малой длительности и неограниченной амплитуды, при этом интеграл от -функции на интервале  $(-\infty; +\infty)$  равен единице.

$$\begin{cases} \delta(t) = \begin{cases} +\infty, & t = 0 \\ 0, & t \neq 0 \end{cases} \\ \int_{-\infty}^{+\infty} \delta(t) dt = 1 \end{cases} \quad (4)$$

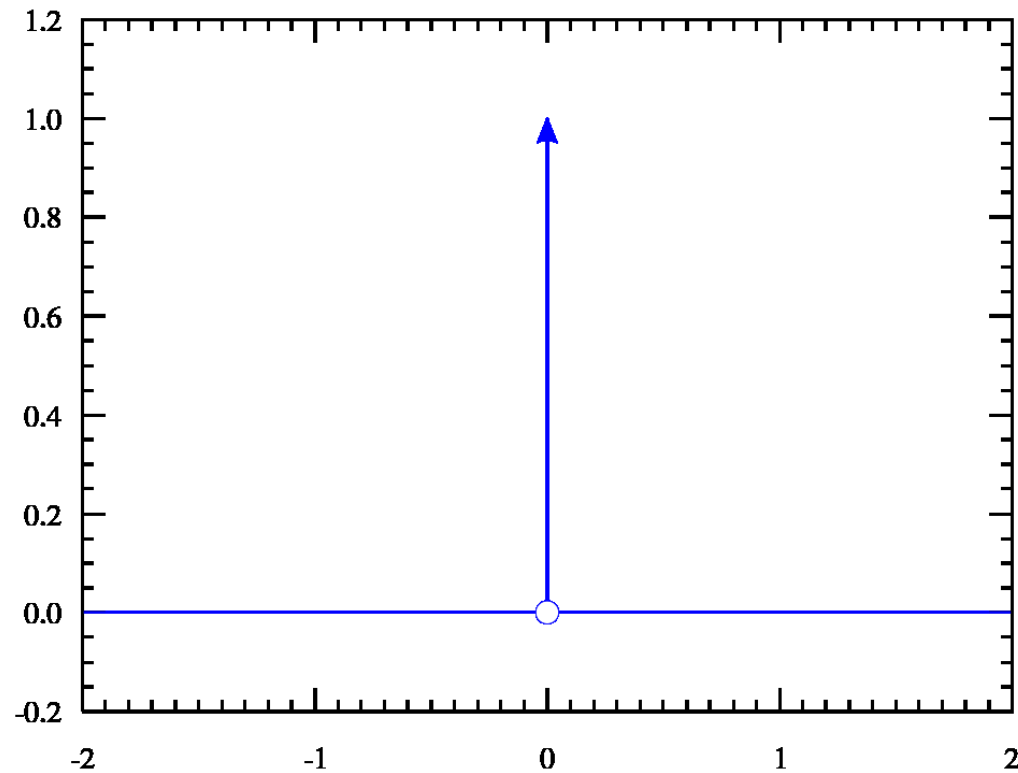


Рис. 3. Дельта-функция

## Анализ линейной системы во временной области

Если в уравнении свёртки  $(x * h)(t) = \int_0^\infty x(\tau)h(t - \tau)d\tau = y(t)$  в качестве возмущающего воздействия  $x$  использовать  $\delta$ -функцию, то на выходе линейной системы  $y(t)$  получим сигнал соответствующий собственной импульсной характеристике системы, т.е.:

$$(\delta * h)(t) = \int_0^\infty \delta(\tau)h(t - \tau)d\tau = h(t). \quad (5)$$

Импульсная характеристика полностью характеризует линейную систему, т.е. импульсная характеристика позволяет всегда предсказать сигнал на выходе системы (отклик системы), зная входной (возмущающий) сигнал.

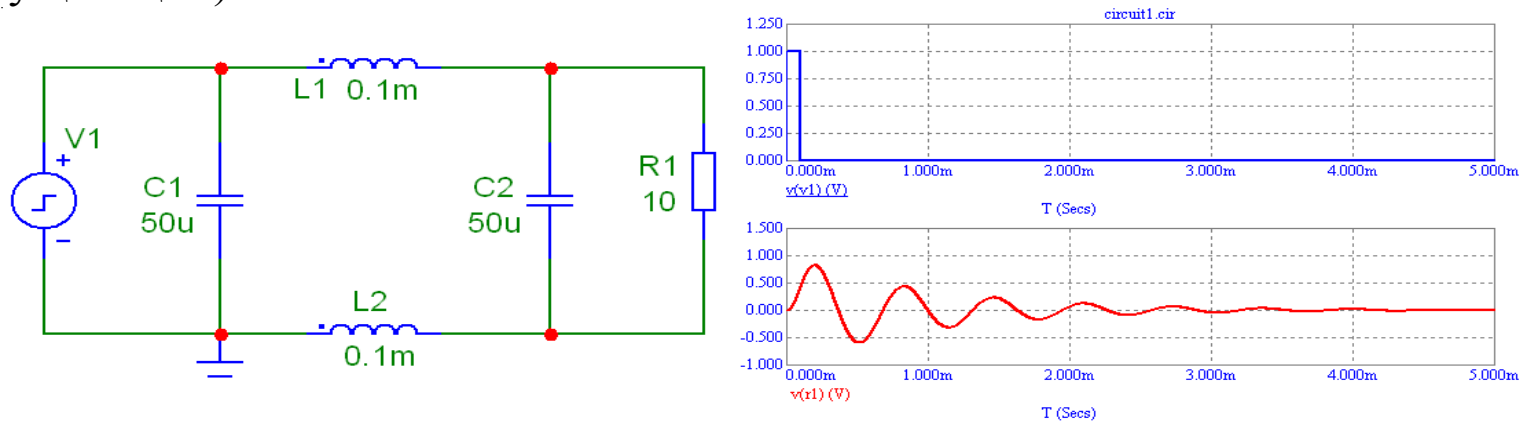


Рис. 4. Модельное исследование импульсной характеристики RLC-контура с помощью кратковременного прямоугольного импульса

Две линейные системы с одинаковыми импульсными характеристиками с точки зрения результата преобразования сигнала эквивалентны, не зависимо от различий конструкции линейных систем.

## Импульсная характеристика и передаточная функция

**Теорема о свёртке:** свёртка сигналов во временной области  $(x * h)(t) = \int_0^\infty x(\tau)h(t - \tau)d\tau = y(t)$  эквивалентна произведению спектров этих сигналов в частотной области, т.е.:

$$y = x * h = \mathcal{F}^{-1}\{\mathcal{F}\{x\} \times \mathcal{F}\{h\}\} = \mathcal{F}^{-1}\{\mathcal{F}\{y\}\}, \quad (6)$$

где  $\mathcal{F}$  – операторное (операционное) преобразование (преобразование Фурье, преобразование Лапласа, z-преобразование, преобразование Карлсона-Хевисайда и др.);  $\mathcal{F}^{-1}$  – обратное операторное преобразование;  $x$  – входной (возмущающий) сигнал;  $h$  – импульсная характеристика системы;  $y$  – выходной сигнал;  $\times$  – символ поэлементного произведения операторных образов  $\mathcal{F}\{x\}$  и  $\mathcal{F}\{h\}$  сигналов  $x$  и  $h$ .

Из выражения (6) вполне очевидно, что  $\mathcal{F}\{x\} \times \mathcal{F}\{h\} = \mathcal{F}\{y\}$ , или в другом виде:

$$\mathcal{F}\{h\} = \frac{\mathcal{F}\{y\}}{\mathcal{F}\{x\}}. \quad (7)$$

**Передаточная функция**  $\mathcal{F}\{h\}$  линейной системы равна поэлементному отношению операторного образа отклика линейной системы к операторному образу возмущающего воздействия.

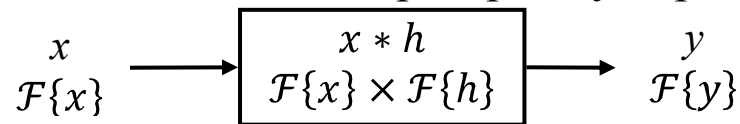


Рис. 4. Передаточная функция

Передаточная функция полностью характеризует линейную систему в операционном пространстве (для преобразования Фурье в частотном пространстве).

## Теорема Релея

**Теорема Релея** энергия сигнала во временной области равна энергии этого же сигнала в частотной области:

$$\int_{-\infty}^{+\infty} |F(j\omega)|^2 d\omega = \frac{1}{2\pi} \int_{-\infty}^{+\infty} |f(t)|^2 dt. \quad (8)$$

Выражение (8) так же называют *равенством Парсеваля*.

Джон Уильям Стретт, третий барон Релей (12 ноября 1842 – 30 июня 1919) – Релей (в некоторых переводах Рэлей), британский физик и механик, открывший (с Уильямом Рамзаем) газ аргон и получивший за это Нобелевскую премию по физике в 1904 году. Открыл также явление, ныне называемое рассеянием Релея, и предсказал существование поверхностных волн, которые также называются волнами Релея.



## Анализ линейной системы в частотной области

Метод исследования частотных характеристик с помощью генератора качающейся частоты (ГКЧ)

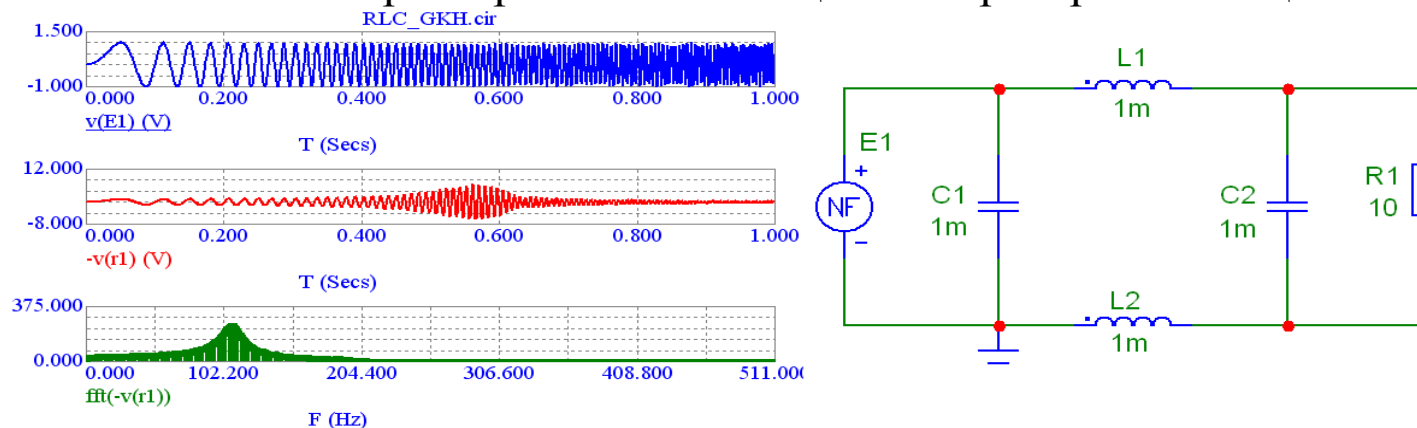


Рис. 5. Исследование частотных характеристик RLC-контура с помощью ГКЧ

Метод исследования частотных характеристик с помощью фурье преобразования импульсной характеристики

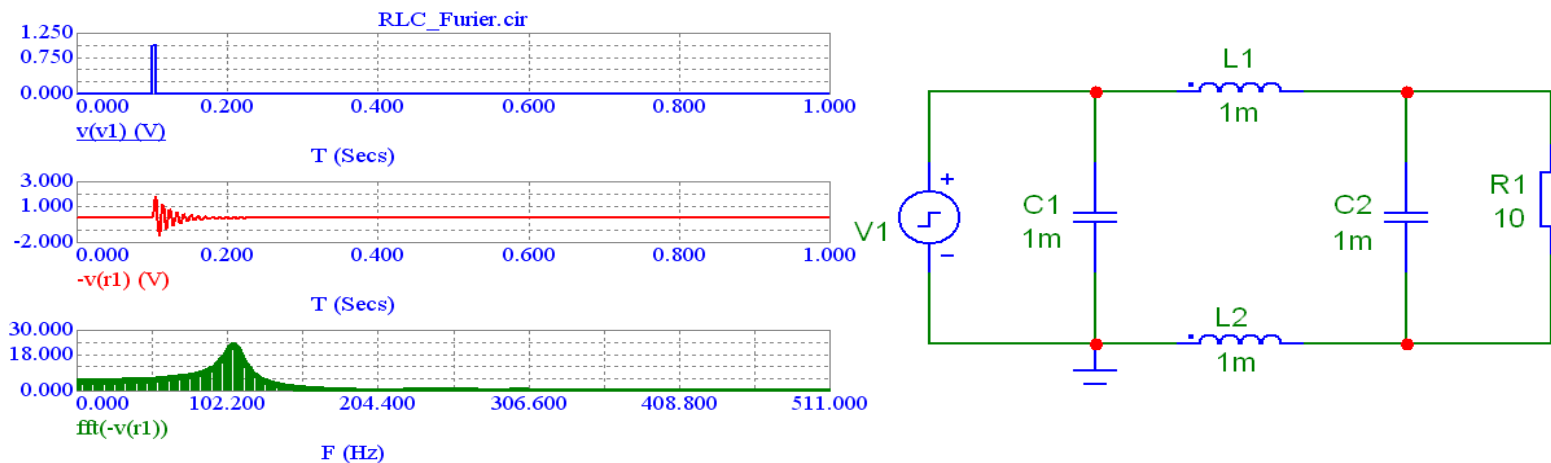


Рис. 6. Исследование частотных характеристик RLC-контура с помощью кратковременного импульса и преобразования Фурье

# Метод анализа частотных характеристик дополнительными средствами

## MicroCap

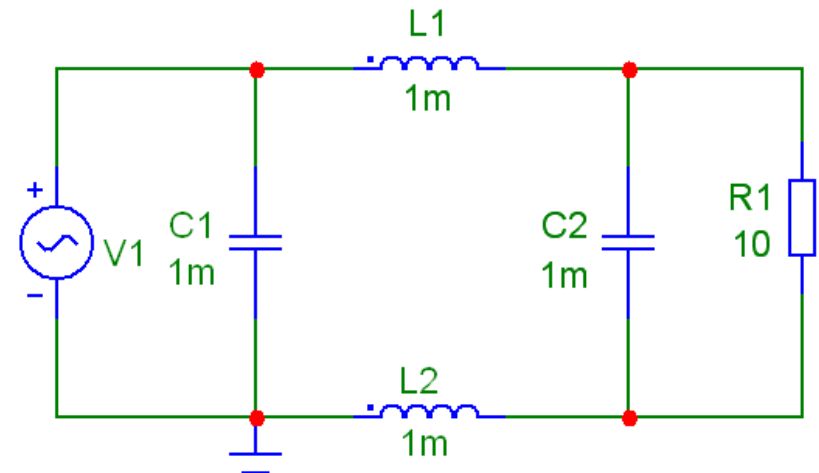
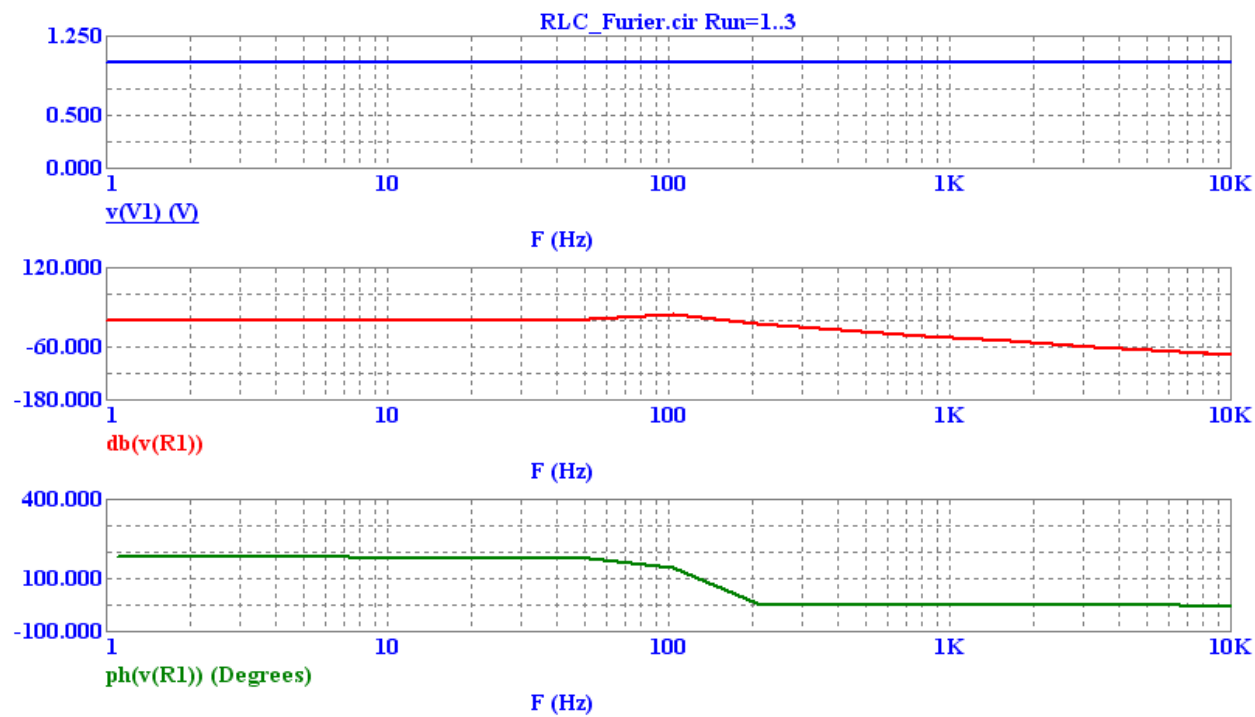


Рис. 7. Частотный анализ в МС

## Переходные процессы в RLC цепях

*Устоявшийся режим* – режим работы электрических цепей спустя достаточно продолжительное время после подключения к постоянным и/или периодическим ЭДС.

*Переходной процесс* – состояние электрической цепи в интервале времени между двумя устоявшимися режимами.

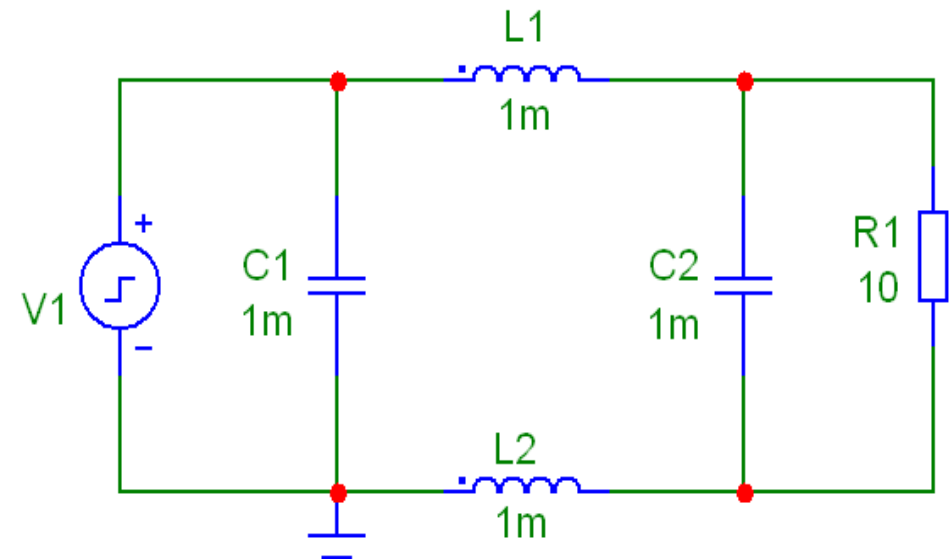
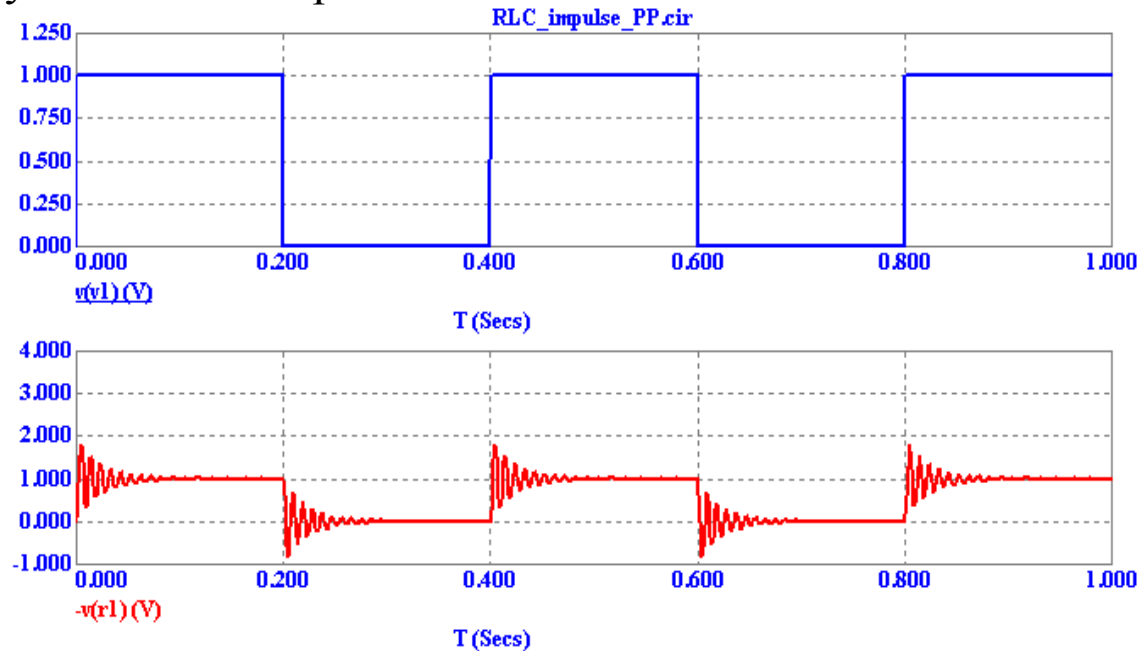


Рис. 8. Серия переходных процессов в масштабе десятых долей с, образуют в большем масштабе, порядка единиц с, устоявшийся периодический процесс

В жизни ни что не постоянно так,  
как постоянен переходной процесс

## Линейное дифференциальное уравнение первого порядка

Как известно уравнение связи мгновенных значений тока  $i(t)$  и напряжения  $u_C(t)$  на ёмкости  $C$  имеет вид:

$$i(t) = \frac{dq(t)}{dt} = C \frac{du_C(t)}{dt}. \quad (8)$$

Уравнение связи мгновенных значений тока  $i(t)$  и напряжения  $u_L(t)$  на индуктивности  $L$  имеет вид:

$$u_L(t) = L \frac{di_L(t)}{dt}. \quad (9)$$

Отметим, что ЭДС самоиндукции катушки индуктивности имеет противоположный знак по отношению к внешнему напряжению приложенному к катушке, т.е.:

$$+u_L(t) = -e_L(t) = +L \frac{di_L(t)}{dt}. \quad (10)$$

Подобные уравнения относятся к классу *линейных неоднородных дифференциальных уравнений первого порядка* (по максимальному значению порядка производной), в общем виде записываемые как:

$$s(t) = \tau \frac{dy(t)}{dt} + y(t), \quad (11)$$

и в общем виде имеют решения:

$$y(t) = e^{-\frac{t}{\tau}} \left( \int^t \frac{e^{-\frac{t}{\tau}} s(t)}{\tau} dt + C \right), \quad (12)$$

где коэффициент  $\tau$  – постоянная времени.

## Переходной процесс в RC-цепочке

В качестве примера рассмотрим RC-цепочку с ключом, в начальный момент времени ( $t = 0$ ) ключ разомкнут, в момент времени  $t = +0$ , происходит мгновенное замыкание ключа и конденсатор начинает заряжаться. По законам электротехники напряжение на конденсаторе не может измениться мгновенно, т.е.  $u_C(0) = u_C(+0)$ , из чего, положив, что конденсатор был в разряженном состоянии, можно записать:  $u_C(0) = u_C(+0) = 0$ .

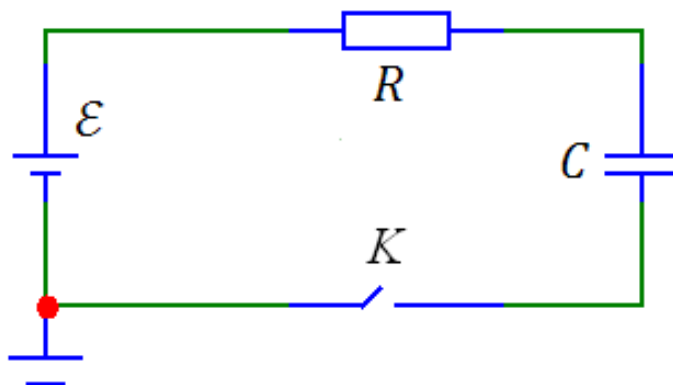


Рис. 9. RC-контур с ключом и батареей

В соответствии со вторым законом Кирхгофа  $\mathcal{E} = u_R(t) + u_C(t)$ , используя уравнение  $i(t) = C \frac{du_C(t)}{dt}$ , закон Ома для участка цепи  $u_R(t) = Ri_R(t)$  и неизменность тока по протяжённости всей ветви (следствие первого закона Кирхгофа), т.е.  $i_R(t) + i_C(t) = i(t)$ , получим дифференциальное уравнение  $\mathcal{E} = RC \frac{du_C(t)}{dt} + u_C(t)$ , решение которого при начальных условиях  $u_C(0) = u_C(+0) = 0$ , будет иметь вид:  $u_C(t) = \mathcal{E} \left( 1 - e^{-\frac{t}{RC}} \right)$ ,  $RC$  – постоянная времени.

# Графический метод определения постоянной времени

## Метод касательной

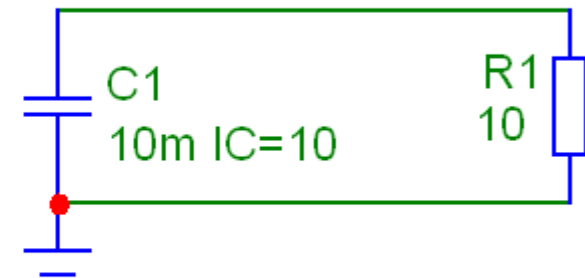
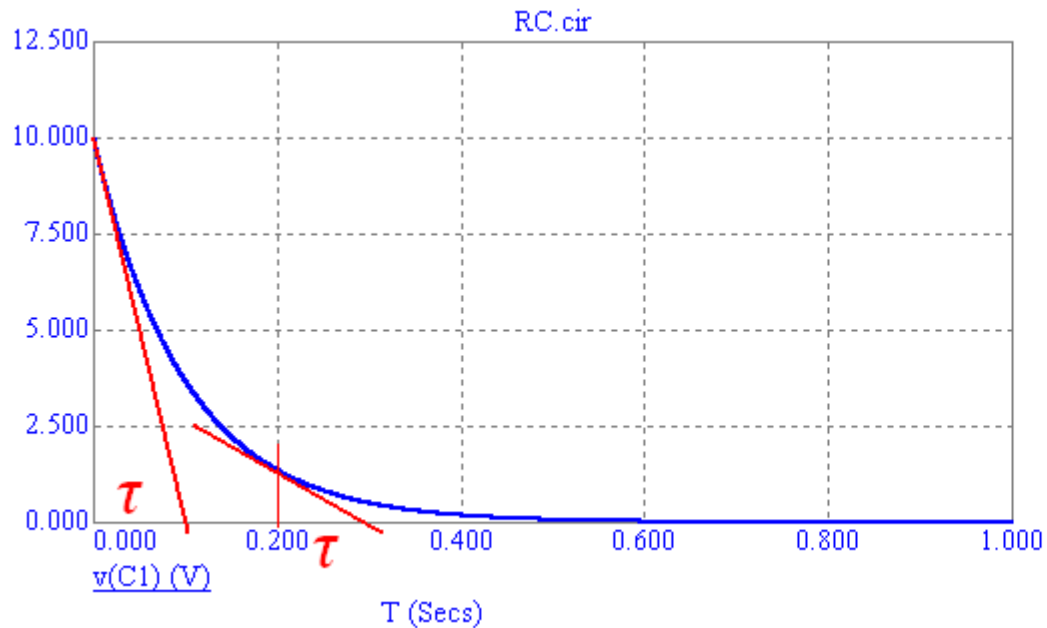


Рис. 10. Разряд конденсатора C1 через резистор R1

Теоретически ожидаемое значение постоянной времени рассчитывается как  $\tau = RC$ .

Время затухания переходного процесса обычно оценивается как  $3\tau$ .

## Генератор на реле и конденсаторе

На базе реле и конденсатора можно построить простейший генератор.

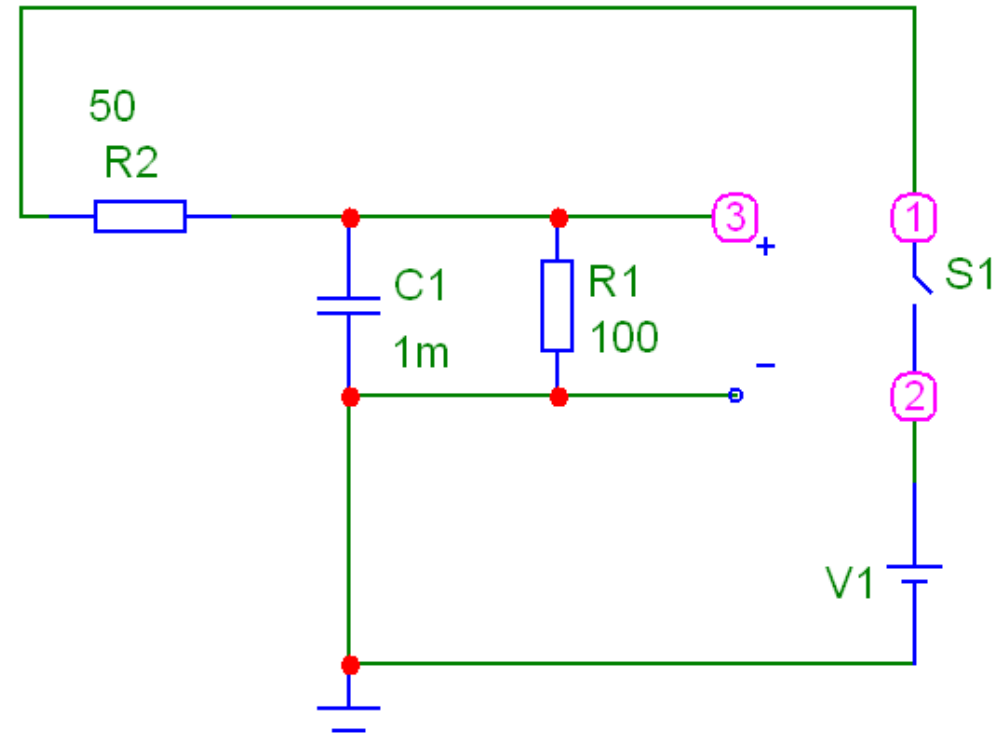
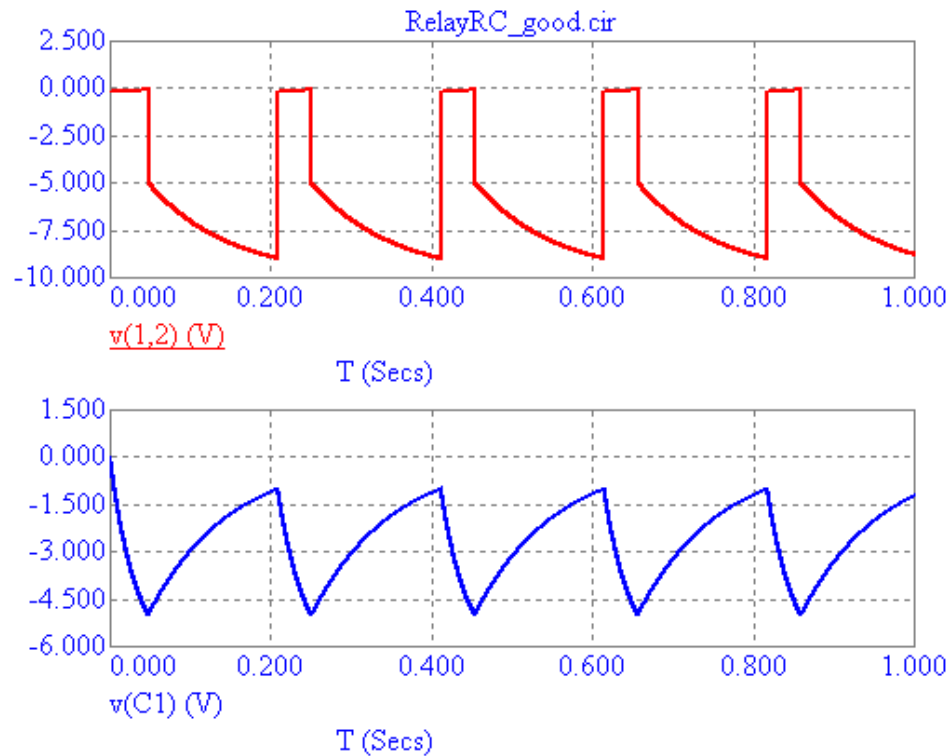


Рис. 11. Генератор на реле и конденсаторе

Строго говоря реле не относится к линейным элементам, у электромагнитного реле присутствует эффект гистерезиса, дребезг контактов, нелинейная зависимость контактного сопротивления от силы притяжения якоря магнитным полем.

## Векторные диаграммы

Сопротивления подразделяют на активные  $R$  и реактивные:  $X_L = j\omega L$  и  $X_C = \frac{1}{j\omega C}$ , в реактивных сопротивлениях присутствует множитель мнимой единицы, в активных сопротивлениях такого множителя нет. На активных сопротивлениях электромагнитная энергия преобразуется в тепловую. Присутствие реактивных элементов в электрических цепях порождает комплексные (содержащие мнимую и вещественную части) токи и напряжения которые возможно отобразить на комплексной плоскости называемой векторной диаграммой токов и напряжений.

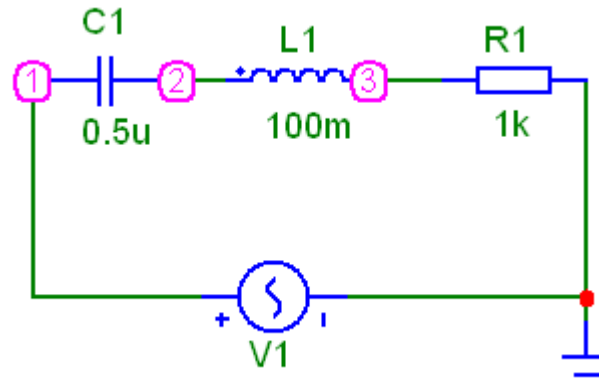


Рис. 12. Последовательное соединение RLC в цепи с синусоидальным источником

Запишем уравнение по 2-му закону Кирхгофа:  $\mathcal{E}(t) = L \frac{di(t)}{dt} + \frac{1}{C} \int_0^t i(t) dt + Ri(t) + u_c(0)$ , при установившемся режиме токи и напряжения на всех элементах цепи будут иметь гармоническую форму, т.е.  $\mathcal{E}(t) = U_m \sin(\omega t)$  и  $i(t) = I_m \sin(\omega t)$ , получим:  $\mathcal{E}(t) = L \frac{dI_m \sin(\omega t)}{dt} + \frac{1}{C} \int_0^t I_m \sin(\omega t) dt + RI_m \sin(\omega t) = I_m \omega L \cos(\omega t) - \frac{1}{\omega C} I_m \cos(\omega t) + RI_m \sin(\omega t) + \frac{1}{\omega C} I_m + u_c(0)$ , причём  $\frac{1}{\omega C} I_m + u_c(0) = 0$ , т.к. все остальные члены уравнения не содержат постоянных составляющих. Тогда:  $\mathcal{E}(t) =$



$I_m \cos(\omega t) \left( \omega L - \frac{1}{\omega C} \right) + R I_m \sin(\omega t)$  – очевидно, что в полученном выражении при активных и реактивных сопротивлениях взаимно ортогональные гармонические функции.

С другой стороны в каждый момент времени для схемы (рис. 12) так же справедливо выражение:  $\left( \left( j\omega L + \frac{1}{j\omega C} \right) + R \right) \dot{I} = \left( j \left( \omega L - \frac{1}{\omega C} \right) + R \right) \dot{I} = \dot{\mathcal{E}}$ , где точка сверху обозначает комплекснозначный ток  $\dot{I}$  и комплекснозначное ЭДС  $\dot{\mathcal{E}}$ , в данном случае ортогональность активной и реактивной части определяет поворачивающий множитель  $j$ . Используя теорему Пифагора, для сложения взаимно ортогональных векторов, получим полное сопротивление:  $Re(Z) = R$ ,  $Im(Z) = \left( \omega L - \frac{1}{\omega C} \right)$  и  $z = |Z| = \sqrt{\left( \omega L - \frac{1}{\omega C} \right)^2 + R^2}$ .

В общем случае *полное комплексное сопротивление*:

$$Z = R + jX = |Z|e^{j\varphi}, \quad (13)$$

где  $|Z| = \sqrt{R^2 + X^2}$ ,  $\varphi = \arctg \left( \frac{X}{R} \right)$ ,  $R$  – активное сопротивление;  $X$  – реактивное сопротивление.

*Полная комплексная проводимость*:

$$Y = \frac{1}{Z} = \frac{1}{R + jX} = G + jB, \quad (14)$$

$G$  – активная проводимость;  $B$  – реактивная проводимость.

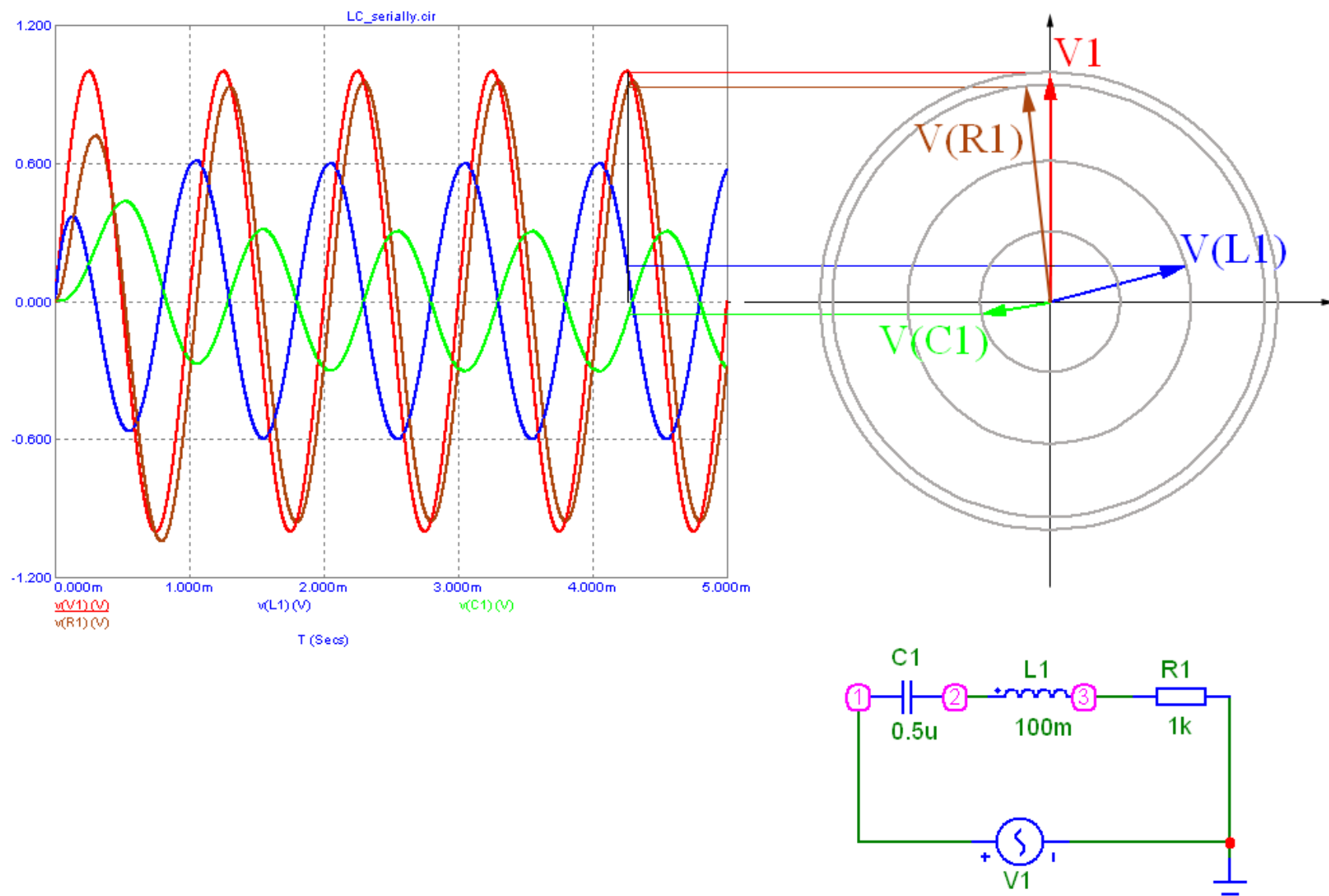


Рис. 13. График напряжений и векторная диаграмма, так же называемая – фазор

## Резонанс напряжений при последовательном соединении в RLC-цепях

$$\omega = \frac{1}{\sqrt{LC}} \quad (15)$$

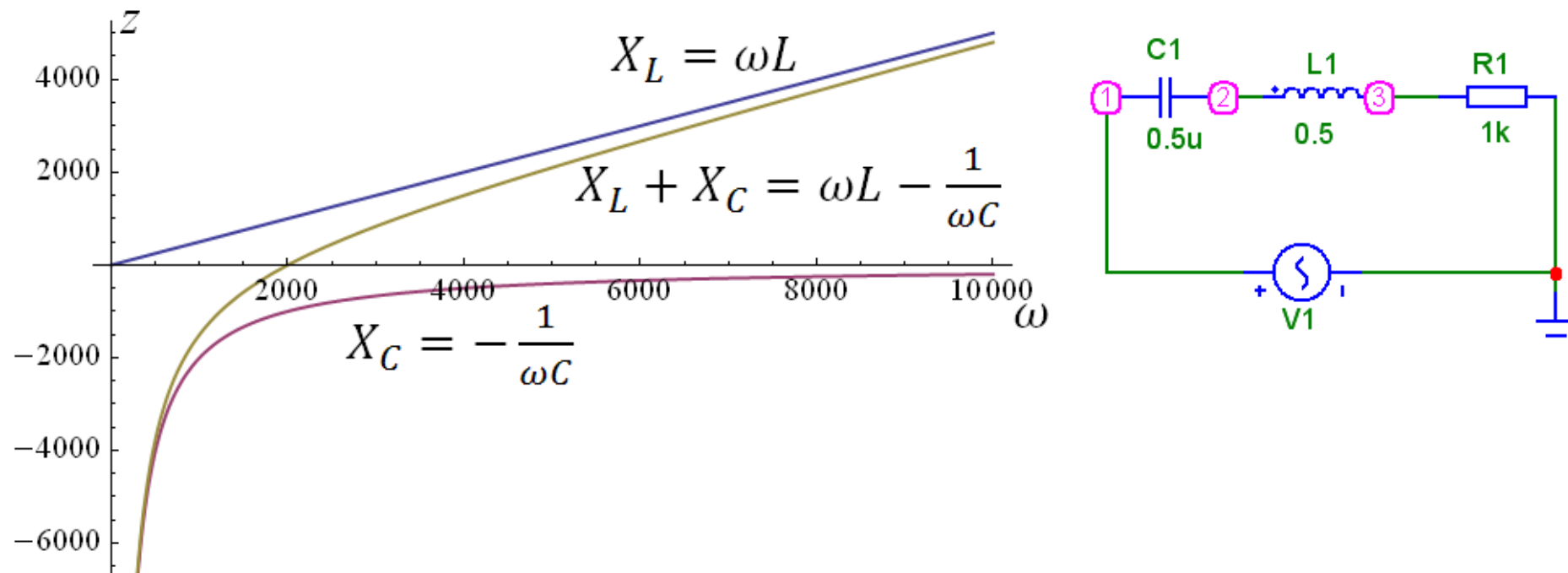


Рис. 14. Сопротивления на реактивных элементах цепи

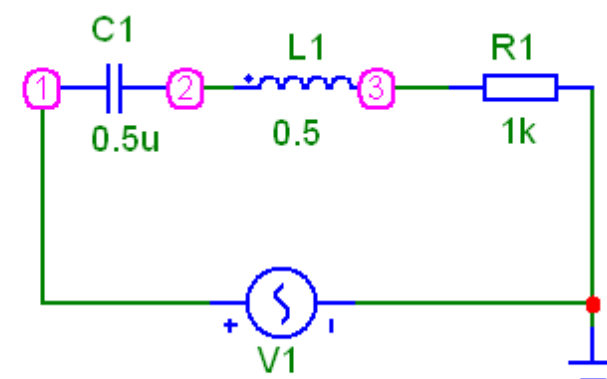
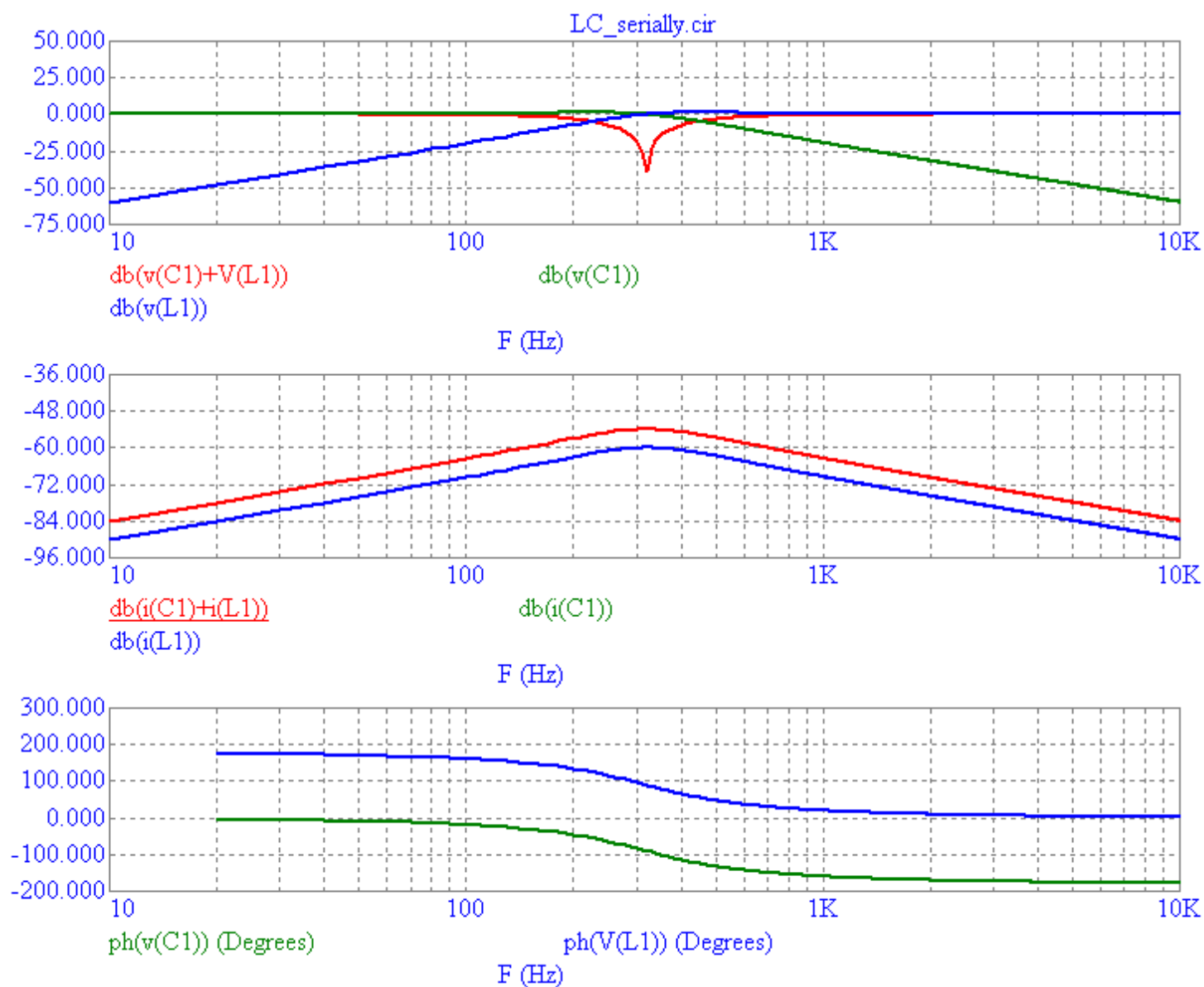


Рис. 15. Резонанс при последовательном соединении:  
напряжения, токи и фаза напряжения на реактивных элементах цепи

## Резонанс токов при параллельном соединении в RLC-цепях

Проводимость индуктивности и конденсатора:  $B_L = \frac{1}{X_L} = \frac{1}{\omega L}$ ,  $B_C = \frac{1}{X_C} = -\omega C$ , тогда по закону Ома для участка цепи при параллельном соединении индуктивности и конденсатора, получим:

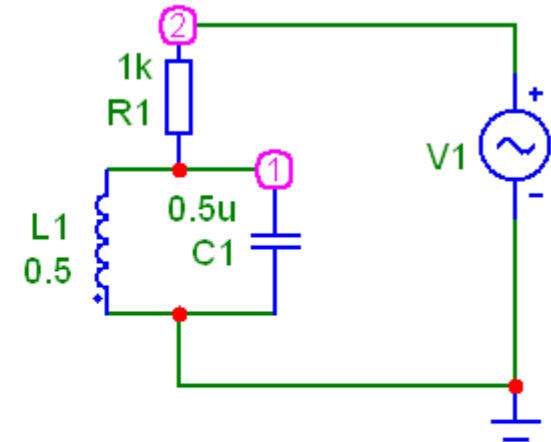
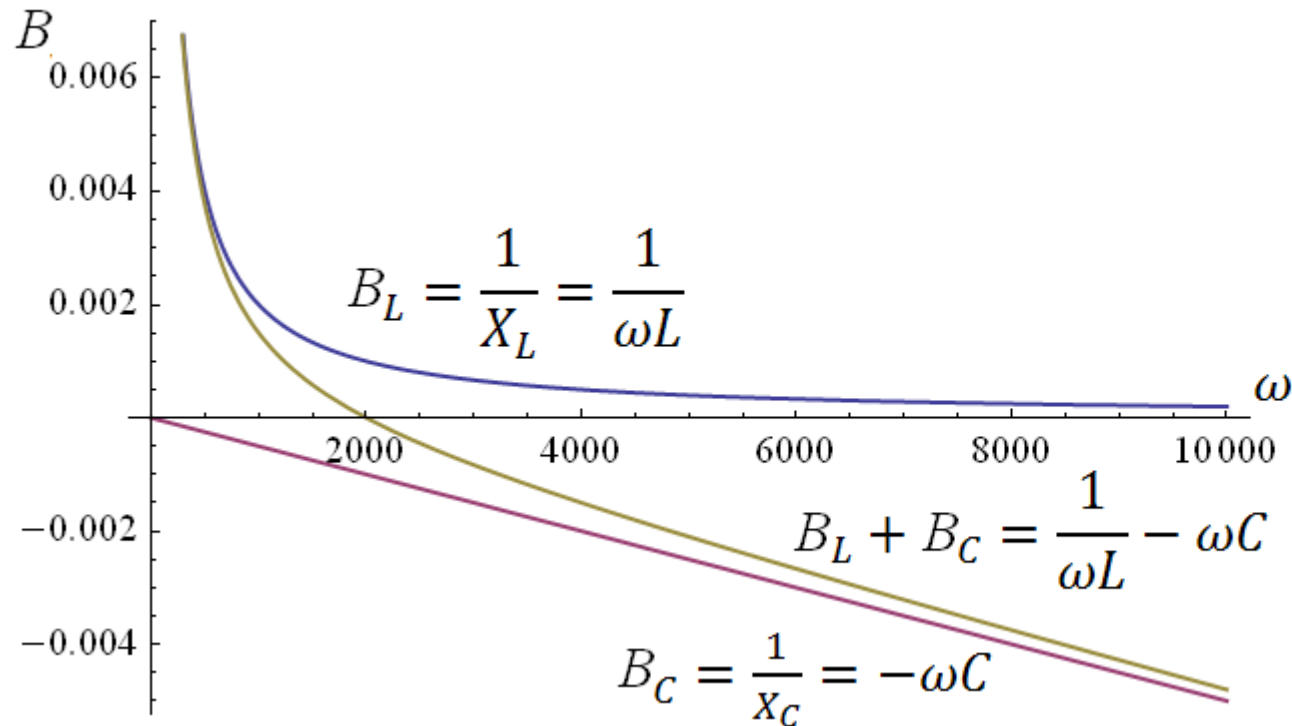
$$I = \frac{U}{B_L + B_C} = \frac{U}{\frac{1}{\omega L} - \omega C}.$$


Рис. 16. Проводимость при параллельном соединении LC

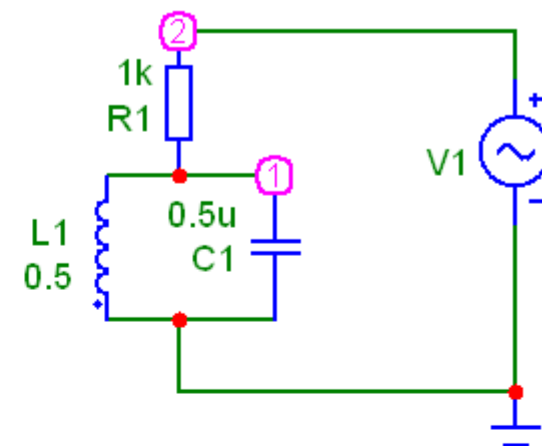
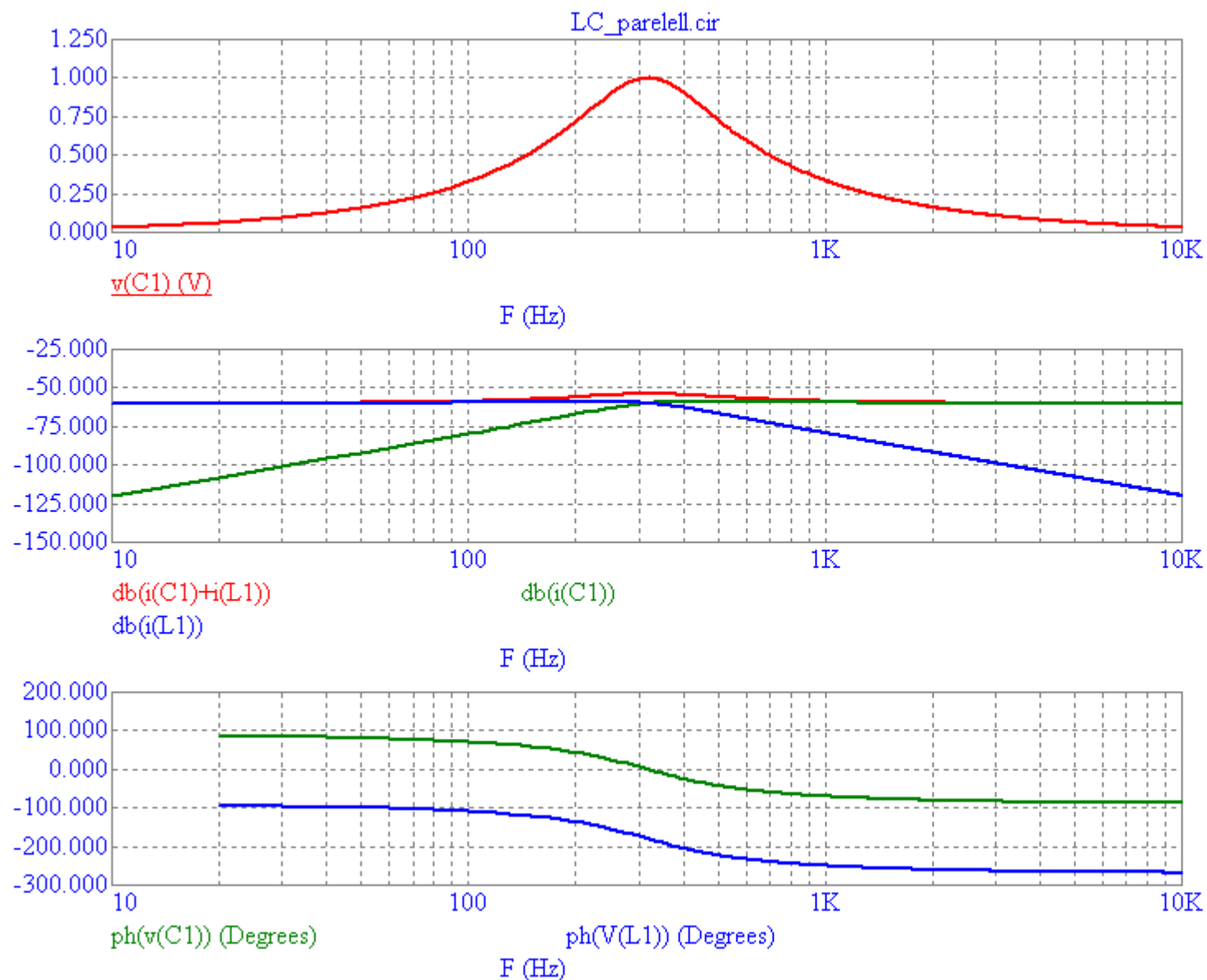


Рис. 17. Резонанс токов при последовательном соединении:  
напряжения, токи и фаза напряжения на реактивных элементах цепи

## Виды частотных фильтров

По частотным диапазонам

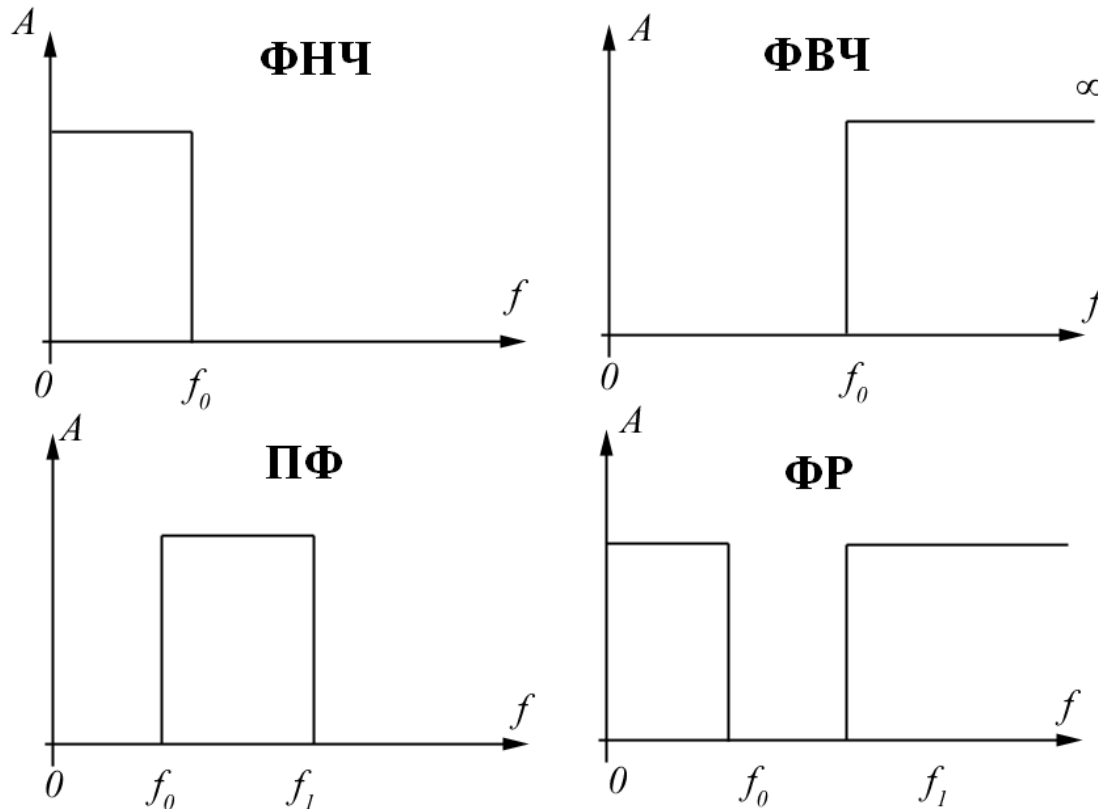


Рис. 12. Различие фильтров при классификации по селекции частотных диапазонов

По виду исполнения: активные фильтры, пассивные фильтры.

По особенностям АЧХ и ФЧХ.

Дополнительно современные методы фильтрации используют цифровые преобразования и цифровые фильтры или смешанные аналогово-цифровые фильтры.

# Импульсная характеристика идеального низкочастотного фильтра

Функция вида:

$$h(t) = \frac{\sin(F t)}{t}, \quad (16)$$

есть функция идеального НЧ фильтра, причём  $F$  – задаёт ширину полосы пропускания.

При  $F = 1$ , выражение (13) принимает вид называемый *sinc*-функцией  $\frac{\sin(t)}{t} = \text{sinc}(t)$ .

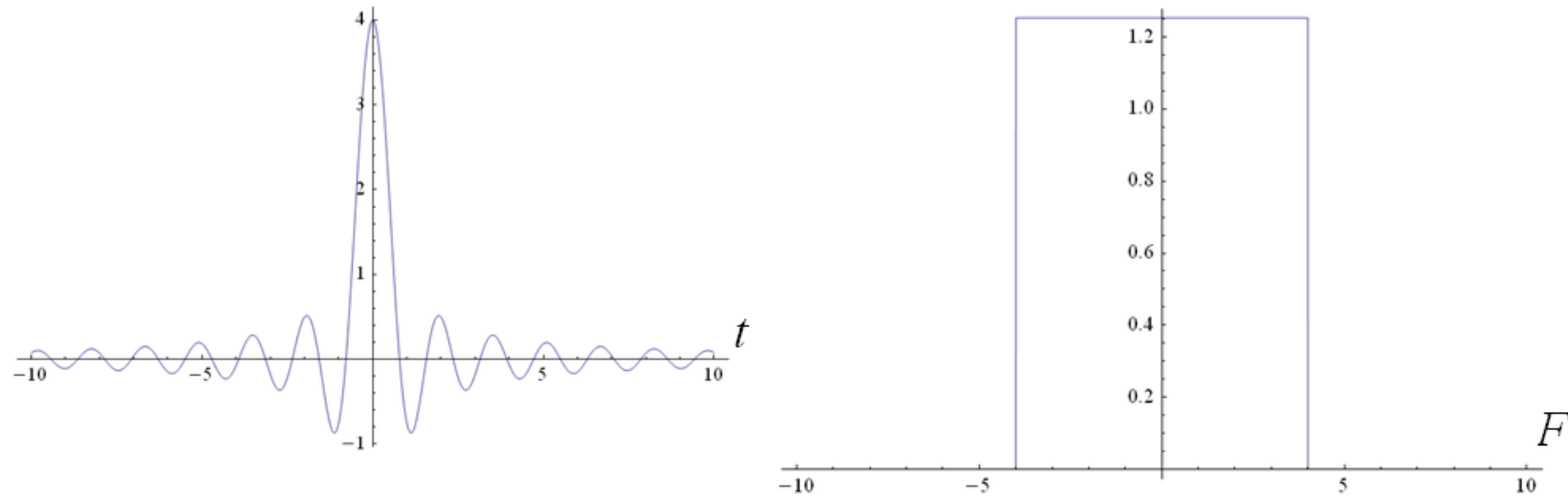


Рис. 13. Импульсная и передаточная функция идеального низкочастотного фильтра

$$\begin{cases} \frac{\sin(Ft)}{t} \Leftrightarrow \mathcal{F}^{-1} \left\{ \frac{1}{2} \sqrt{\frac{\pi}{2}} (\text{Sign}(F - \omega) + \text{Sign}(F + \omega)) \right\} \\ \mathcal{F} \left\{ \frac{\sin(Ft)}{t} \right\} \Leftrightarrow \frac{1}{2} \sqrt{\frac{\pi}{2}} (\text{Sign}(F - \omega) + \text{Sign}(F + \omega)) \end{cases}, \text{ для } F = 4$$



## Белы

*Бел* [Б] – единица логарифмического отношения физической величины к одноимённой физической величине, принимаемой за исходную. В основе единицы лежит десятичный логарифм. Единица названа в честь американского учёного Александра Белла. Децибел – десятая доля бела [ $\text{Б} \cdot 10^{-1}$ ].

Напомним, что:  $\log_a b^n = n \log_a b$ .

Для энергетических величин (мощность, энергия) принято следующее отношение:

$$D = 10 \lg \left( \frac{P_2}{P_1} \right). \quad (17)$$

Для силовых величин (сила, сила тока, напряжение, напряжённость) принято следующее отношение:

$$D = 20 \lg \left( \frac{U_2}{U_1} \right). \quad (18)$$

Александр Грейам Белл (3 марта 1847 – 2 августа 1922) – учёный, изобретатель и бизнесмен шотландского происхождения, один из основоположников телефонии.

Таблица 1. Соотношения для типичных значений «раз» и дБ

$\frac{A_2}{A_1}$ , раз(а) (больше, меньше)	$10 \lg \left( \frac{A_2}{A_1} \right)$ , дБ	$20 \lg \left( \frac{A_2}{A_1} \right)$ , дБ
0.1	−10.0	−20.0
0.125	−9.031	−18.062
0.25	−6.021	−12.041
0.5	−3.01	−6.021
$1/\sqrt{2} \approx 0.7071$	−1.505	−3.010
1.0	0	0
$\sqrt{2} \approx 1.4142$	1.505	3.010
2.0	3.01	6.021
4.0	6.021	12.041
8.0	9.031	18.062
10	10.0	20.0

В качестве опорного сигнала для сравнения в различных задачах и приложениях может выбираться входной или выходной сигнал, максимальные или минимальные значения сравниваемого сигнала и пр.

## Добротность

*Добротность* – характеристика колебательной системы, определяющий ширину резонанса и характеризующий, во сколько раз запасы энергии в системе больше, чем потери энергии за время изменения фазы на 1 радиан. Общая формула расчёта добротности:

$$Q = \frac{2\pi f_0 W}{P_a}, \quad (16)$$

где  $f_0$  – частота резонанса [Гц];  $W$  – энергия, запасённая в колебательной системе;  $P_a$  – рассеиваемая мощность. Для последовательного соединения RLC, добротность можно рассчитать как:

$$Q = \frac{1}{R} \sqrt{\frac{L}{C}} = \frac{\omega_0 L}{R}. \quad (17)$$

Для параллельного контура RLC включены параллельно:

$$Q = R \sqrt{\frac{C}{L}} = \frac{R}{\omega_0 L}. \quad (18)$$

Для колебательного контура с известной АЧХ, добротность можно рассчитать как:

$$Q = \frac{\omega_0}{\Delta\omega} = \frac{\pi}{\delta} = \pi N_e, \quad (19)$$

где  $\delta$  – логарифмический декремент затухания, равный отношению полуширины резонансной кривой к частоте резонанса;  $N_e$  – число колебаний за время релаксации;  $\Delta\omega$  – ширина полосы рассчитывается по уровню – 3 дБ или  $1/\sqrt{2}$  – раз.



Рис. 14. Оценка полосы колебательного контура

## Частотные характеристики фильтров

Характеристики реальных фильтров отличаются от характеристик идеальных фильтров.

Основные характеристики аналоговых фильтров следующие:

- амплитудно-частотная характеристика (АЧХ) – зависимость выходной амплитуды сигнала от частоты при постоянной амплитуде входного сигнала;
- фазо-частотная характеристика (ФЧХ) – зависимость выходной фазы сигнала от частоты относительно фазы входного сигнала;
- коэффициент нелинейных искажений (КНИ), характерен для фильтров содержащих нелинейные элементы.

Частота среза (фильтра) – частота на которой амплитуда выходного сигнала меньше амплитуды входного сигнала в  $\frac{1}{\sqrt{2}} \approx 0.707$  раза или  $\sim 3$  дБ.

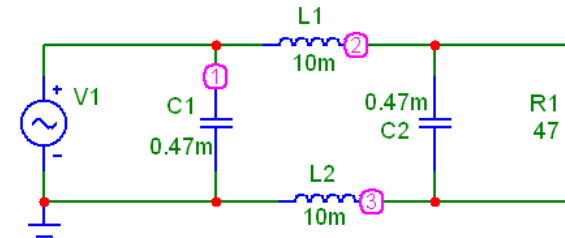
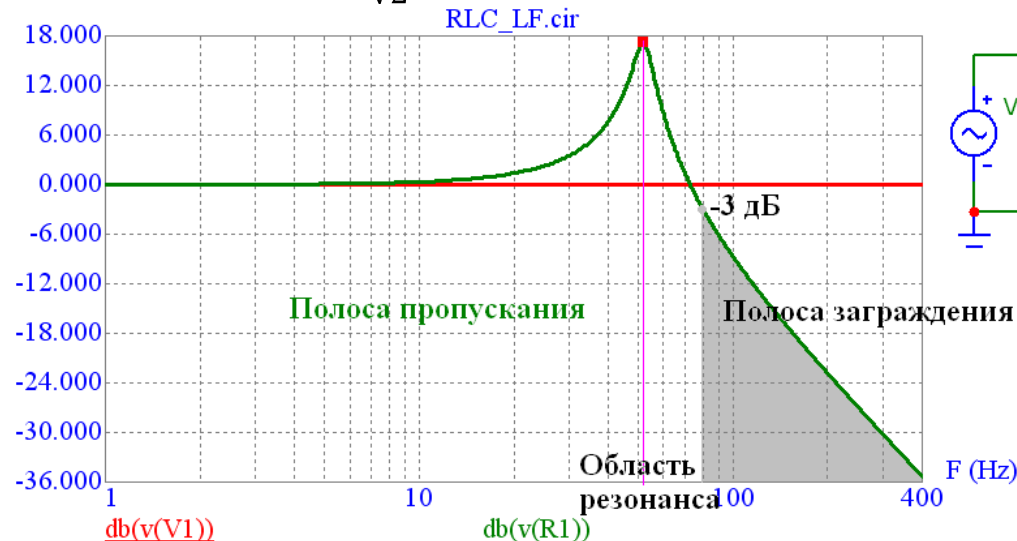


Рис. 15. Низкочастотный фильтр: полоса пропускания (до  $-3$  Дб), полоса заграждения при уровне выходного сигнала менее  $-3$  Дб

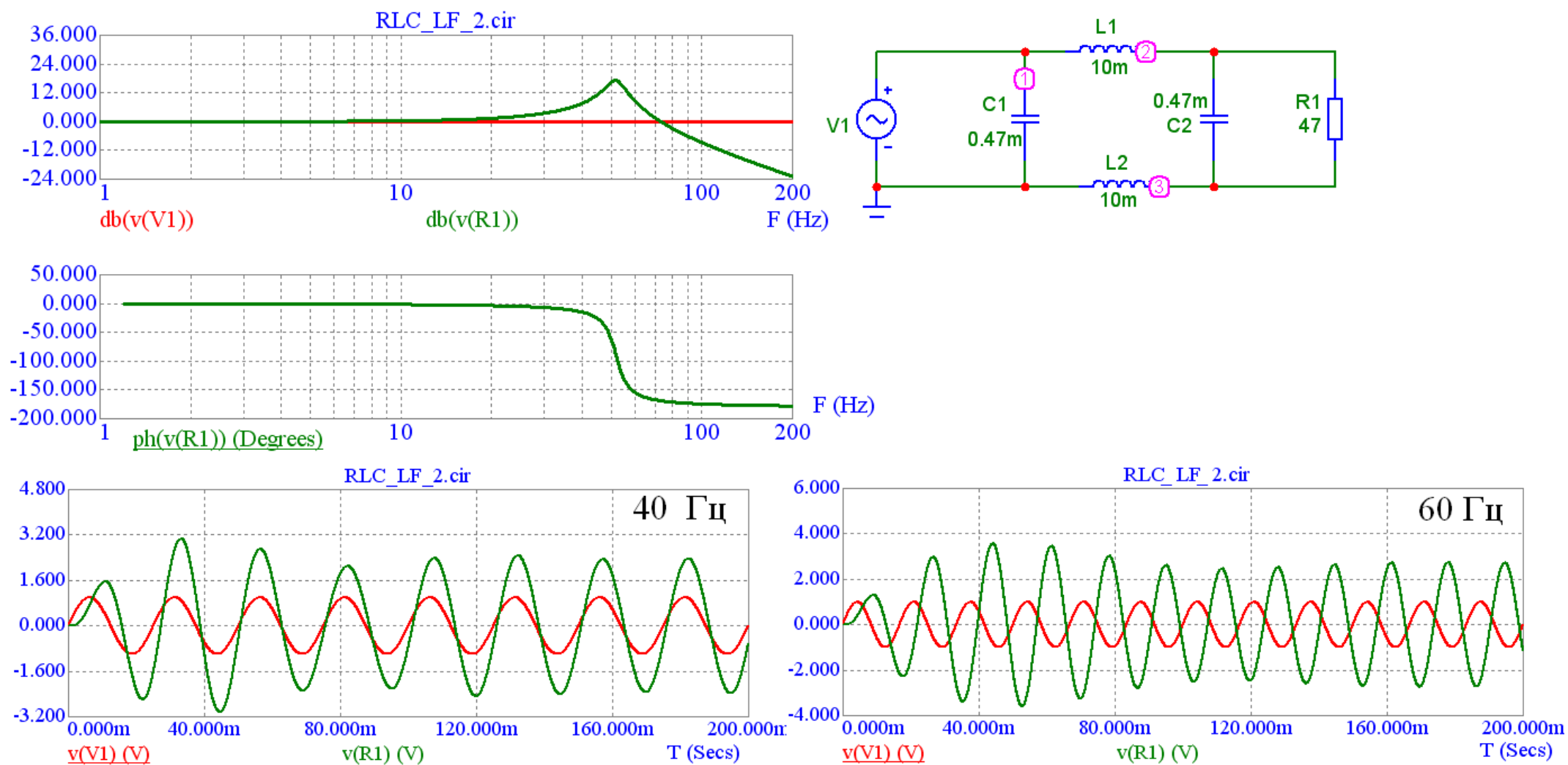


Рис. 16. Амплитудно-частотная и фазочастотная характеристика НЧ-фильтра

## Делитель напряжения RC как фильтр

Передаточная характеристика RC-фильтра нижних частот:

$$H = \frac{Y}{X} = \frac{1/(j\omega C)}{\frac{1}{j\omega C} + R} = \frac{1}{1 + j\omega RC}. \quad (19)$$

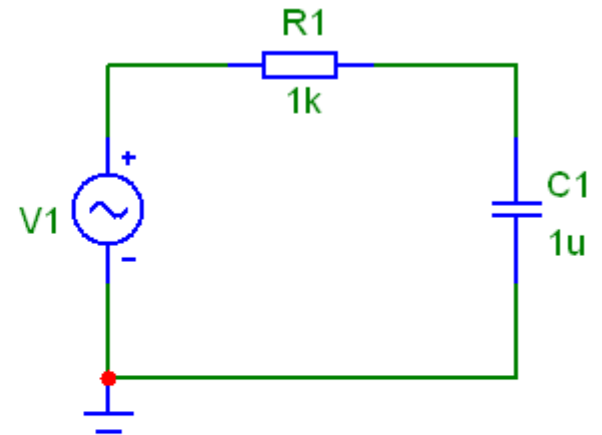
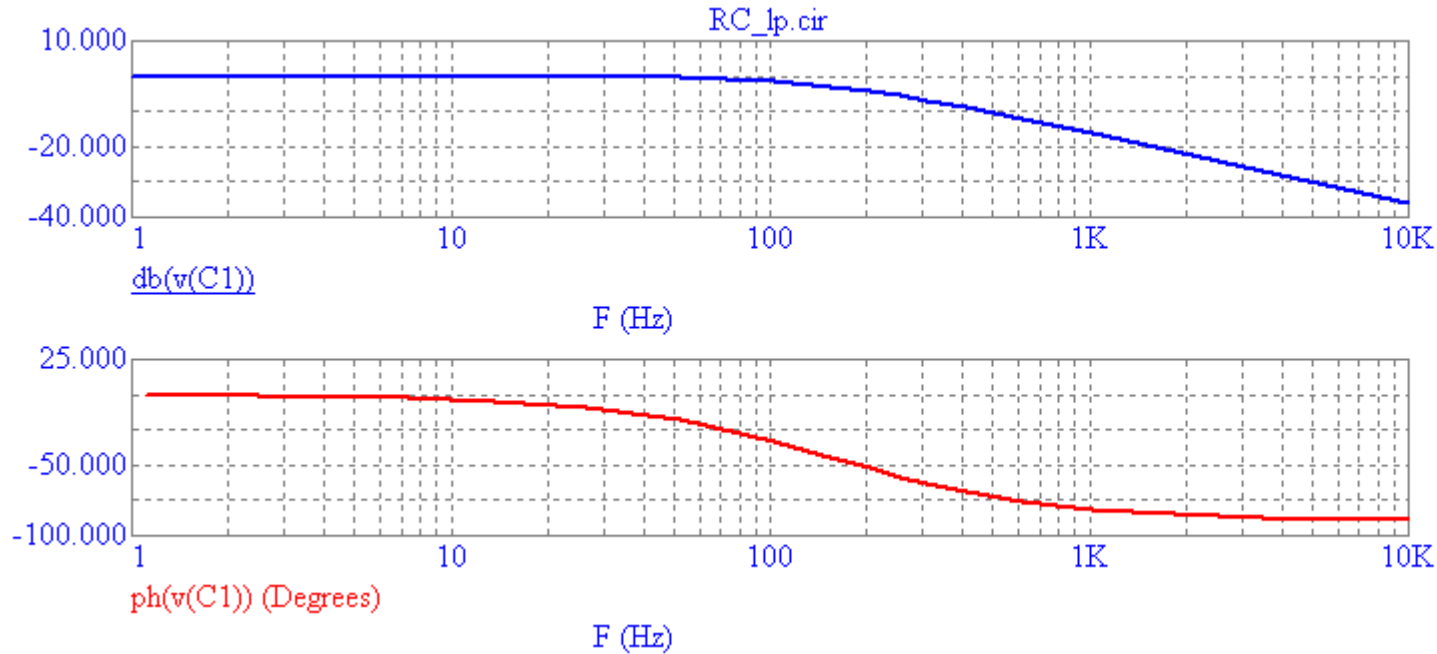


Рис. 17. RC-фильтр нижних частот

# Синтез пассивных фильтров в MicroCap

Меню: Фильтры ⇒ Создание пассивных фильтров ...

Полосовой Эллиптический Standard  
Center Frequency=1000Hz Passband Gain=0dB Passband Ripple (Kp) = 3.0103 dB at Passband (PB) = 100 Hz Stopband Attenuation (Ks) = 20 dB at Stopband (SB) = 200 Hz Impedance Scale Factor=1

LP = Ideal low-pass response  
BP = Ideal bandpass response  
The circuit above is designed to

```
.define U (S/(2*P*998.75))
.define LP
0.18028*(U*U+4.7946)/(U*U+0.32399/(U+0.32399))
.define BP
(0.45237)*(U*U+0.80348)/(U*U+
(0.39853)*(U*U+1.2446)/(U*U+
(0.03244)*U/(U*U+0.03244*U+

```

**Passive Filter Designer**

Design | Implementation | Опции

Тип фильтра

- ☐ ФНЧ
- ☐ ФВЧ
- ☒ Полосовой
- ☐ Заграждающ

Тип характеристики

- ☐ Баттворта 4
- ☐ Чебышева 3
- ☒ Эллиптический 3

Основные параметры

- ☒ Полный ☐ Упрощенный
- Козф. передачи: 0 дБ
- Его пульсации R: 3.01029995 дБ
- Ослабление A: 20 дБ
- Центр. частота Fc: 1000 Гц
- Полоса PB: 100 Гц
- Граница SB: 200 Гц

Poles and Zeros

Stage	F0	Q0	FN
1	953.7975...	75.29206...	895.2487...
2	1045.819...	75.29206...	1114.215...
3	998.7492...	30.82634...	.

Default | Bode | Step | Impulse | OK | Отмена | Справка

Рис. 17. Окно синтеза пассивных фильтров в МС

## Трансформатор с идеальными линейными характеристиками

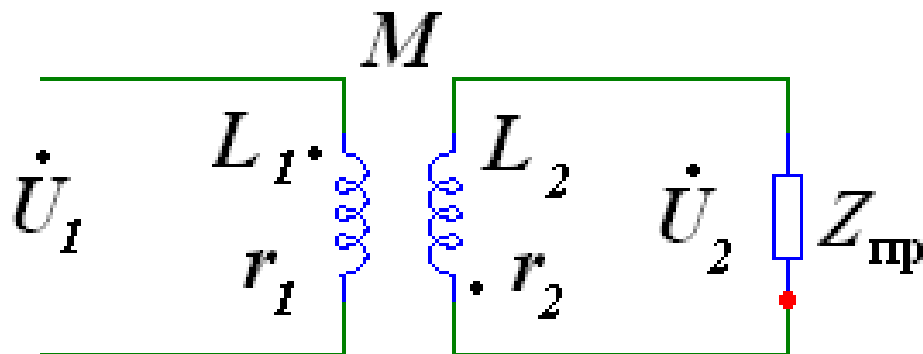


Рис. 18. Модель трансформатора

$$\begin{cases} u_1(t) = r_1 i_1(t) + L_1 \frac{di_1(t)}{dt} + M \frac{di_2(t)}{dt} \\ -M \frac{di_1(t)}{dt} = r_2 i_2(t) + L_2 \frac{di_2(t)}{dt} + u_2(t) \end{cases}, \quad (20)$$

где  $L_1$ ,  $L_2$  и  $r_1$ ,  $r_2$  – индуктивности и сопротивления обмоток;  $M$  – взаимные индуктивности обмоток.

При синусоидальном напряжении в установившемся режиме выполнив преобразование Фурье, получим операторные образы в комплексной форме:

$$\begin{cases} \dot{U}_1 = r_1 \dot{I}_1 + j\omega L_1 \dot{I}_1 + j\omega M \dot{I}_2 \\ -j\omega M \dot{I}_1 = r_2 \dot{I}_2 + j\omega L_2 \dot{I}_2 + \dot{U}_2 \end{cases}. \quad (21)$$

Причём  $Z_{\text{пр}} = \dot{U}_2 / \dot{I}_2$  – есть комплексное сопротивление приёмника.

Степень магнитной связи контуров, называемая *коэффициент связи*:

$$k = \frac{|M|}{\sqrt{L_1 L_2}}. \quad (22)$$



## Трансформатор: идеальный, совершенный, реальный

При условиях  $k = 1, r_2, r_2 = 0$  рассматривают две модели трансформаторов:

– совершенный трансформатор:  $\frac{|\dot{U}_1|}{|\dot{U}_2|} = c, (const)$  независимо от нагрузки;

– идеальный трансформатор:  $\frac{|\dot{U}_1|}{|\dot{U}_2|} = c, \dot{U}_1 = -c\dot{U}_2$  и  $i_1 = -\frac{1}{c}i_2$ .

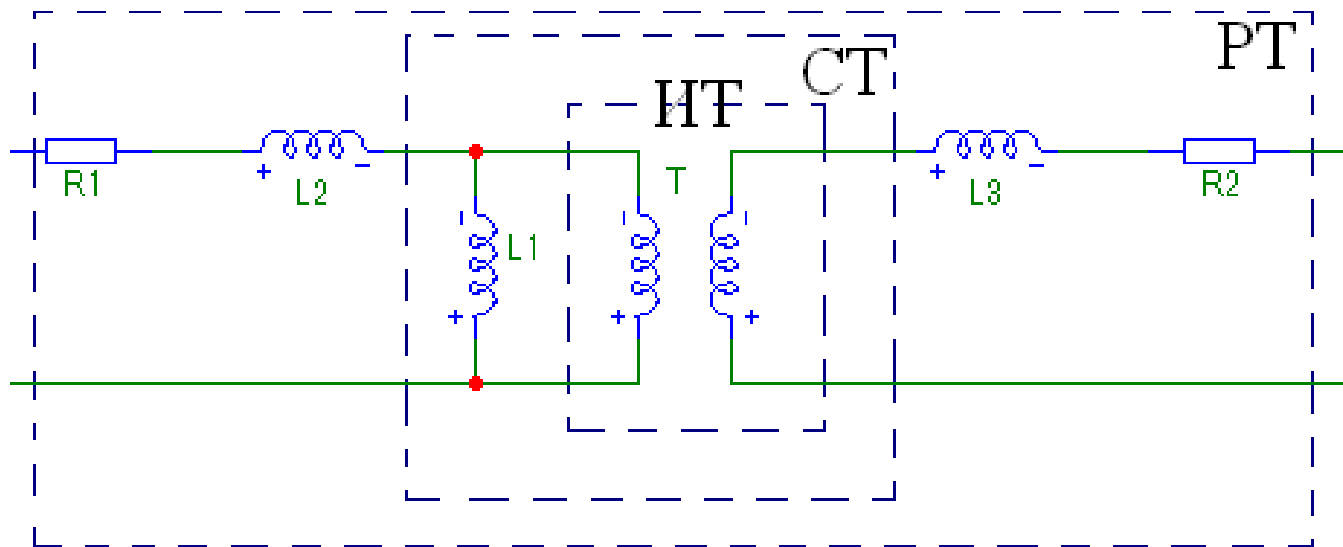


Рис. 19. Семы трёх моделей трансформаторов: ИТ, СТ и РТ

## Поверхностный эффект, эффект близости

*Поверхностный эффект* — заключается в неравномерности распределения плотности переменного тока по сечению проводника, у поверхности проводника плотность тока имеет большие значения.

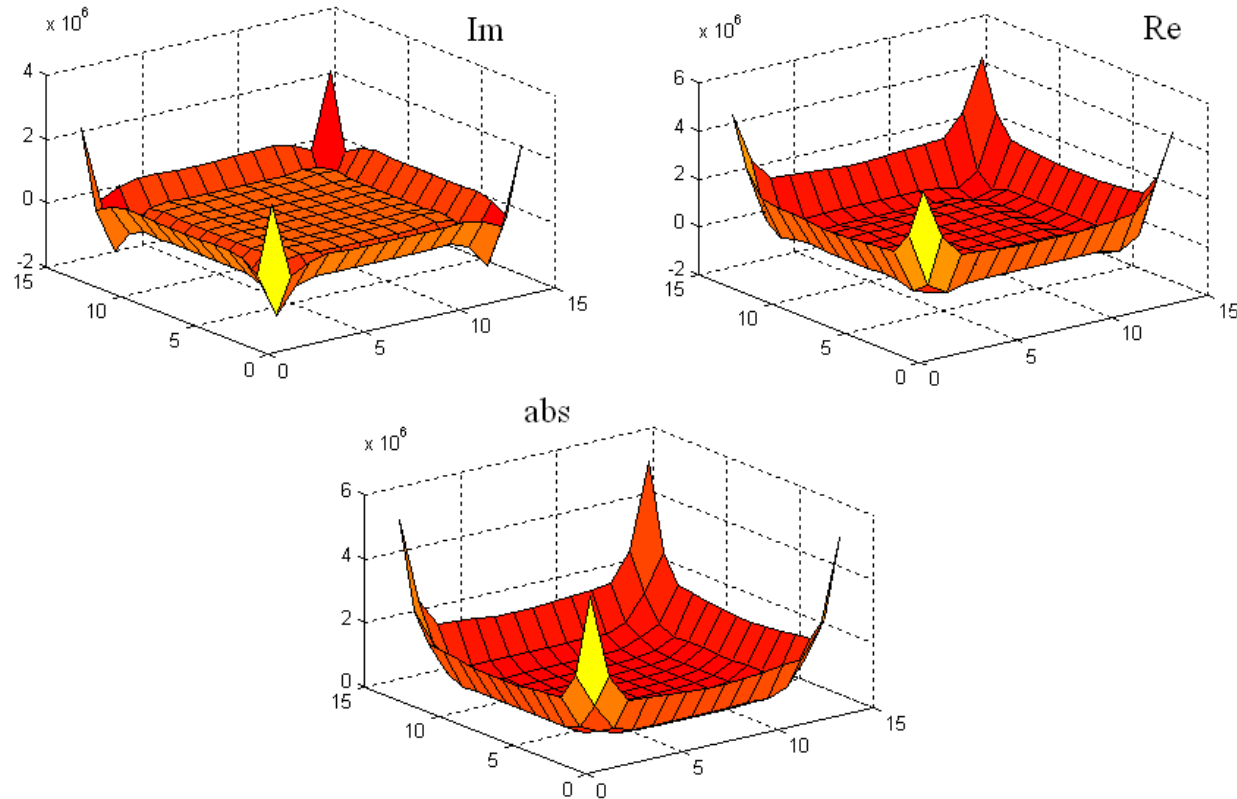


Рис. 20. Распределение комплексных компонент плотности тока по сечению медного проводника квадратного сечения с длиной стороны 14 мм

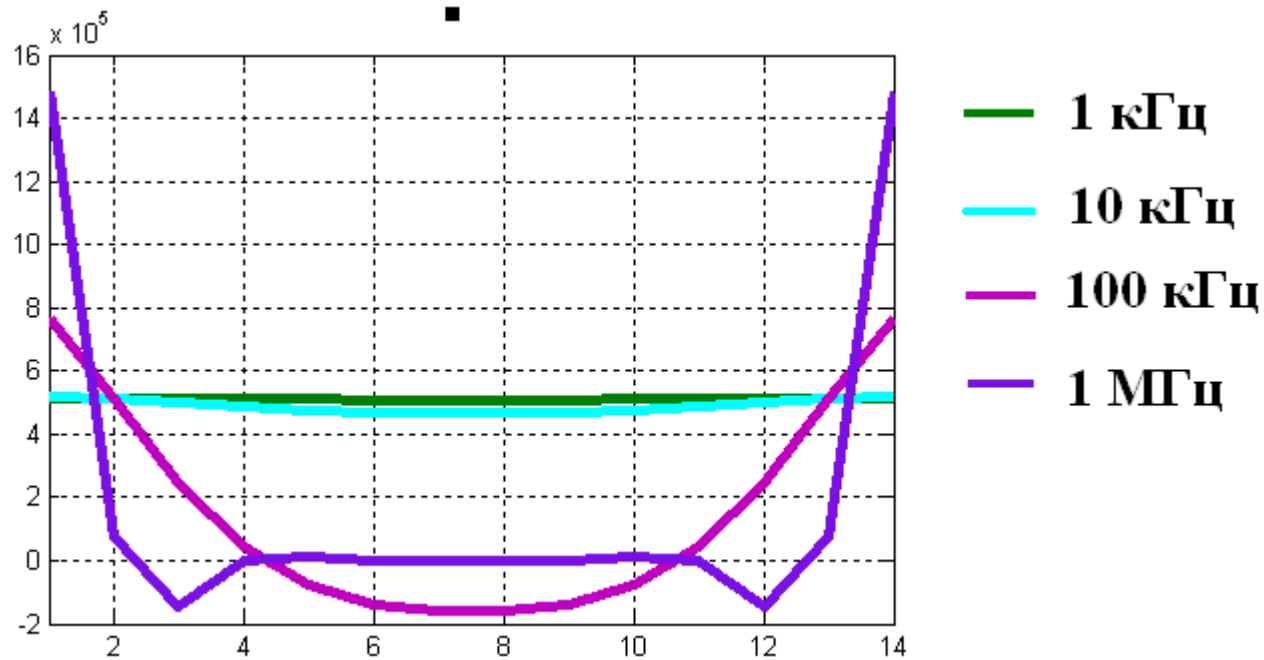


Рис. 21. Проявление поверхностного эффекта в зависимости от частоты

Оценить глубину проникновения возможно как:

$$\delta = \sqrt{\frac{2}{\gamma \mu \omega}}, \quad (23)$$

где  $\gamma$  – удельная объемная электропроводность вещества;  $\mu$  – абсолютная магнитная проницаемость вещества;  $\omega$  – круговая частота гармонических колебаний.

Причина поверхностного эффекта и эффекта близости ЭДС самоиндукции проводника с переменным током, глубокие слои проводника сцеплены с большим числом линий магнитной индукции, чем поверхностные слои. При протекании переменного тока магнитное поле проводника с током изменяется. В результате изменения магнитного поля возникает ЭДС с током направленным противоположно первичному току (противо-ЭДС). В глубоких слоях проводника противо-ЭДС имеет большие значения, чем в поверхностных слоях.

### Эффект близости

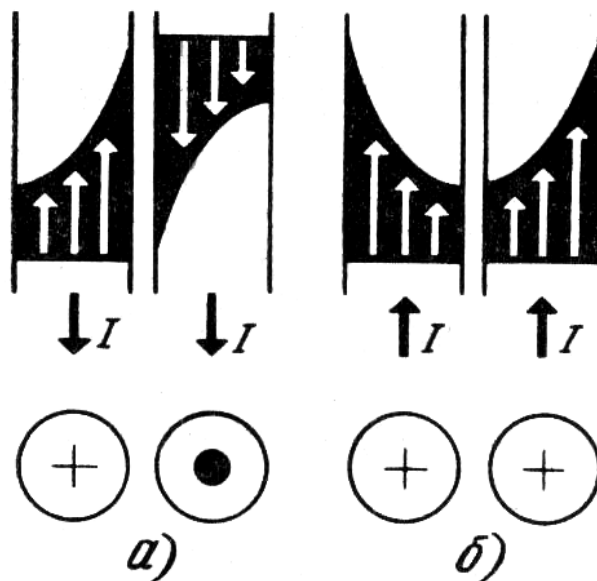


Рис. 22. Эффект близости

# Виды электрических схем и элементы документации изделий схемотехники

Разделение по смысловой нагрузке:

функциональная схема; принципиальная схема; монтажная схема; эскизные чертежи; сборочный чертёж; схема деления на составные части; листинги программ; описания назначения и функционирования узлов; альбомы осциллограмм; спецификации; электронная модель.

Группирование по назначению:

эксплуатационная документация; ремонтно-техническая документация; отчётная документация; документация разработчика; тестовая документация.

Комплекс нормативных регулирующих документов: ЕСКД – единая система конструкторской документации.

Необходимо строго соблюдать соответствие формата документа требованиям ГОСТов

Изучить необходимые ГОСТЫ возможно на ресурсе

<http://docs.cntd.ru/>

Поиск производить по запросам:

«единая система конструкторской документации», «электрическая схема», «условные обозначения схемы электрические».

# Литература по курсу Схемотехника

## Основная литература

1. Демирчян К.С., Нейман Л.Р., Коровкин Н.В., Чечурин В.Л. Теоретические основы электротехники в 3-х томах // С-Пб.: Питер, 2003.
2. Хоровиц П., Хилл У. Искусство схемотехники: Перевод с английского. - Издание 2-е. - М: Издательство БИНОМ. - 2015. - 704 с.: ил.
3. С. Зи. Физика полупроводниковых приборов. В 2-х книгах // М.: «МИР», 1984. – 456 с. и 456 с.
4. Волович Г. И. Схемотехника аналоговых и аналогово-цифровых электронных устройств. 3-е изд. стер. // М.: ДМК Пресс, 2015 – 528 с.: ил.
5. Картер Б. Операционные усилители для всех // М.: Додэка-XXI, 2011 - 544 с.: ил.
6. Резевиг В. Д. Схемотехническое моделирование с помощью Micro-Cap 7. // М.: Горячая линия – Телеком, 2003. – 368 с.: ил.
7. Корис Р., Шмидт-Вальтер Х. Справочник инженера-схемотехника // М.: Техносфера, 2008. – 608 с.
8. Стюарт Б. Р. Аналоговые интерфейсы микроконтроллеров // М.: Додэка-XXI, 2007. – 360 с.: ил.

## Дополнительная литература

9. Кестер У. Проектирование систем цифровой и смешанной обработки сигналов // М.: Техносфера, 2010. – 328 с.: ил.
10. Анго А. Математика для электро- и радиоинженеров // М.: Наука, 1957. – 780 с.
11. Суходольский В. Ю. Altium Disigner: сквозное проектирование функциональных узлов РЭС на печатных платах: учебное пособие. – 2-е изд., перераб. и доп. // С-Пб.: БХВ-Питер, 2014 – 560 с.: ил.
12. Бонч-Бруевич В. Л., Калашников С. Г. Физика полупроводников // М.: Наука, 1977. – 672 с.
13. Фалькевич Э. С., Пульнер Э. О., Червоный И. Ф. и др. Технология полупроводникового кремния // М.: Металлургия, 1992. – 408 с.: ил.